

سنگ‌شناسی و خاستگاه سنگ‌های آتشفسانی پلیوکواطنر جنوب شرق نیر، جنوب استان یزد

شهزاد شرافت^{*} ، محمدرضا اسداللهی نژاد اناری

گروه زمین‌شناسی، دانشکده علوم پایه، دانشگاه پیام نور، تهران، ایران

(دریافت مقاله: ۹۹/۸/۵، سخن نهایی: ۹۹/۶/۲)

چکیده: در جنوب شرق نیر و جنوب استان یزد، رخمنوهای بسیاری از آتشفسانهای اسیدی بروند دارند که جوانترین ظاهرهای آتشفسانی منطقه با ترکیب داسیتی- ریوداسیتی را تشکیل داده‌اند. این سنگ‌ها از کانی‌های پلازیوکلاز، هورنبلند، بیوتیت و کوارتز تشکیل شده‌اند و بافت‌های جریانی و شیشه‌ای ریز سنگی پورفیری دارند. بر پایه داده‌های زمین‌شیمیایی، سرشت ماقمایی سنگ‌ها آهکی قلیایی و غنی از عناصر سنگ دوست بزرگ یون (LILE) و تهی از عناصر با شدت میدان بالا (HFSE) است. این ویژگی به همراه الگوی جدایش یافته عناصر خاکی نادر و ناهنجاری منفی عنصرهای با شدت میدان بالا (Ti, Nb, P) و (La/Yb, Sr/Y, SiO₂) به همراه مقادیر پائین MgO, Yb, Y, MgO و Y، در موقعیت‌های وابسته به کرانه فعال قاره‌ای است. مقادیر بالای La/Yb, Sr, SiO₂ و (La/Yb, Sr/Y, SiO₂) به همراه مقادیر پائین Ti, Nb, P بیانگر شکل‌گیری ماقما سرشت آدکیتی پرسیلیس این سنگ‌ها را نشان می‌دهد. به نظر می‌رسد که تشکیل ماقمای سازنده سنگ‌ها پیامد ذوب بخشی خاستگاه گارنت آمفیبولیتی یا اکلوژیتی ناشی از دگرگونی سنگ‌کره اقیانوسی فرورو نئوتیس در پهنه برخوردی ایران مرکزی- عربستان در دوره نئوزن باشد.

واژه‌های کلیدی: سنگ‌های آتشفسانی پلیوکواطنر؛ آهکی قلیایی؛ آدکیت؛ کمان ماقمایی ارومیه دخته؛ یزد.

کواترنر ادامه داده‌اند.

تاكنون پژوهش‌های بسیاری پیرامون آتشفسانهای جوان ایران بهویژه در بخش میانی پهنه ماقمایی ارومیه- دختر انجام شده [۹-۵] که منجر به شناسایی و گزارش برخی از آنها به نام سنگ‌های آدکیتی وابسته به فرورانش شده است. آدکیت‌ها واحدهای سنگی حدواتسط- اسیدی سرشار از سیلیس (۵۶ درصد وزنی)، آلومین (بیش از ۱۵ درصد وزنی) و سدیم (بیش از ۳/۵ درصد وزنی) با کانی‌های پلازیوکلاز، هورنبلند و بیوتیت هستند [۱۰] که نسبت به دیگر سنگ‌های رخمنون یافته در مرزهای فعال قاره‌ای، نسبت‌های Y/Sr و La/Yb بالا و مقادیر Yb و Y کمی دارند [۱۱]. بررسی‌های انجام شده بر مجموعه آتشفسانی پلیوکواطنری حسن آباد دره زرشک در جنوب غرب شهرستان یزد نشانگر سرشت آدکیتی پرسیلیس و تشکیل آن

مقدمه

گنبدهای آتشفسانی جوان جنوب نیر در استان یزد، بخشی از فعالیت ماقمایی پهنه ماقمایی ارومیه- دختر در کرانه غربی پهنه ساختاری ایران مرکزی و پهنه برخوردی ایران مرکزی- عربستان را تشکیل داده‌اند. پهنه ماقمایی ارومیه- دختر جایگاه فعالیت‌های ماقمایی سنوزوئیک و ناشی از فرورانش سنگ‌کره اقیانوسی نئوتیس به زیر ورقه قاره‌ای ایران مرکزی است [۱]. فعالیت ماقمایی این پهنه در اؤسن با فعالیت شدید آتشفسانی شروع شده [۲] و پس از برخورد صفحه عربی و ایران مرکزی، فرایند فرورانش تا نئوزن [۳] و فعالیت ماقمایی پس از برخورد تا کواترنر ادامه یافته است [۴]. فعالیت‌های آتشفسانی جوان ایران ادامه فعالیت‌های ترشیری بوده است و اغلب آتشفسانهای جوان، فعالیت خود را از میوسن شروع کرده و تا

*نویسنده مسئول، تلفن: ۰۹۱۳۳۱۶۵۱۱۰، نامبر: ۰۳۱۴۵۲۰۰۸۱۵، پست الکترونیکی: sh_sherafat@yahoo.com

هستند. بر پایه تقسیم‌بندی ساختاری ایران، منطقه مورد پژوهش در بخش میانی کمان ماقمایی ارومیه دختر و کرانه، غربی پهنه ایران مرکزی قرار دارد [۱۴]. در این منطقه، سازندهای پالئوزوئیک تا کواترنر دیده می‌شوند. ارتفاع‌های شمال و شمال شرقی منطقه از سازندهای دوران اول و دوم تشکیل شده‌اند. ارتفاع‌های جنوب شرقی را سنگ‌های آتشفسانی و ارتفاع‌های جنوب‌غربی را نهشته‌های تخریبی ترسیم کردند. گنبدهای اسیدی جوان در بخش میانی نقشه در تل‌کفتری، تل‌گدارباغ، تل‌شکارگاه، چاهزرد، ارنان و دامنه‌های جنوبی آن با دو ریختار ناهمسان، یکی با سطح خشن و ستیغ ساز و دیگری با سطحی تپه ماهوری، دیده می‌شوند و مرتتفع‌ترین آنها ارنان با ارتفاع ۲۸۹۹ متر است [۱۵]. بیشتر این گنبدها منفرد و مستقل هستند و درون تنه‌نشسته‌های رسوی نتوژن جایگزین شده‌اند (شکل ۱).

کهن‌ترین رخمنون سنگی ارتفاع‌های شمال شرقی منطقه، واحدهای سنگ‌چینهای پالئوزوئیک-مزوزوئیک هستند که با آهک‌های خاکستری کربونیfer پسین-پرمین پیشین شروع شده و با سنگ‌های کربناتی و ماسه‌سنگ وابسته به پرمین پوشانده می‌شوند. آهک‌ها و دولومیت‌های تریاس با یک همبری گسله در کنار واحدهای کرتاسه پیشین قرار دارند. واحدهای کرتاسه با نهشته‌های کربناتی-تخریبی به نام سازند تفت شروع شده و با سازندهای کنگلومرایی و آهکی کرتاسه بالای پایان می‌یابند. نهشته‌های سوزوئیک منطقه با کنگلومرای چندزادی پالئوسن (هم‌ارز کنگلومرای کرمان) شروع شده و با مارن‌های سنگ‌گچ، آهک، شیل و توف ماسه‌ای پالئوسن ادامه یافته‌است. حجم گسترهای از سنگ‌های آتشفسانی-رسوی ائوسن شامل تراکیت، داسیت، ریوداسیت، بازالت، آندزیت، توف و آهک‌های بازتبلوریافته، ارتفاع‌های تپه‌ماهوری بخش جنوبی منطقه را تشکیل داده‌اند.

نهشته‌های نتوژن در بخش غربی منطقه با ماسه‌سنگ قرمز، کنگلومرا و مارن میوسن شروع شده و با کنگلومرای چندزادی پلیو-پلیستوسن ادامه می‌یابند. برونزدهای متعدد گنبدهای آذرین جوان (پلیو-پلیستوسن) با ریختار به نسبت خشن و مرتتفع، کنگلومرای کرتاسه، نهشته‌های ائوسن و گاهی رسوی‌های جوانتر را قطع کرده‌اند. جدیدترین نهشته‌های منطقه را

از ذوب‌بخشی پوسته اقیانوسی فرورانده است [۹]. سنگ‌های آداسکیتی رابر- لاله‌زار در جنوب شرق کرمان از ذوب‌بخشی پوسته زیرین مافیک (آمفیبولیت گارنت‌دار) در عمق بیش از ۵۰ کیلومتر بوجود آمده‌اند [۸]. تاکنون پژوهش مستقلی پیرامون سنگ‌زایی و خاستگاه گنبدهای آتشفسانی جنوب نیر صورت نگرفته و تنها بررسی‌های انجام شده بر بخشی از گنبدهای آتشفسانی غرب منطقه متمرکز بوده است [۱۲]. در این پژوهش، برای نخستین بار ویژگی‌های سنگ‌نگاری، زمین‌شیمیایی، محیط دینامیکی، خاستگاه و سنگ‌زایی گنبدهای آتشفسانی آداسکیتی منطقه بررسی شده است. نتایج این پژوهش کمک شایانی به درک چگونگی شکل‌گیری سنگ‌های آتشفسانی پلیوکواترنر پهنه ارومیه- دختر، سرنوشت صفحه فرورو و مباحث مربوط به فرورانش در پهنه برخوردي ایران و عربستان می‌نماید.

روش بررسی

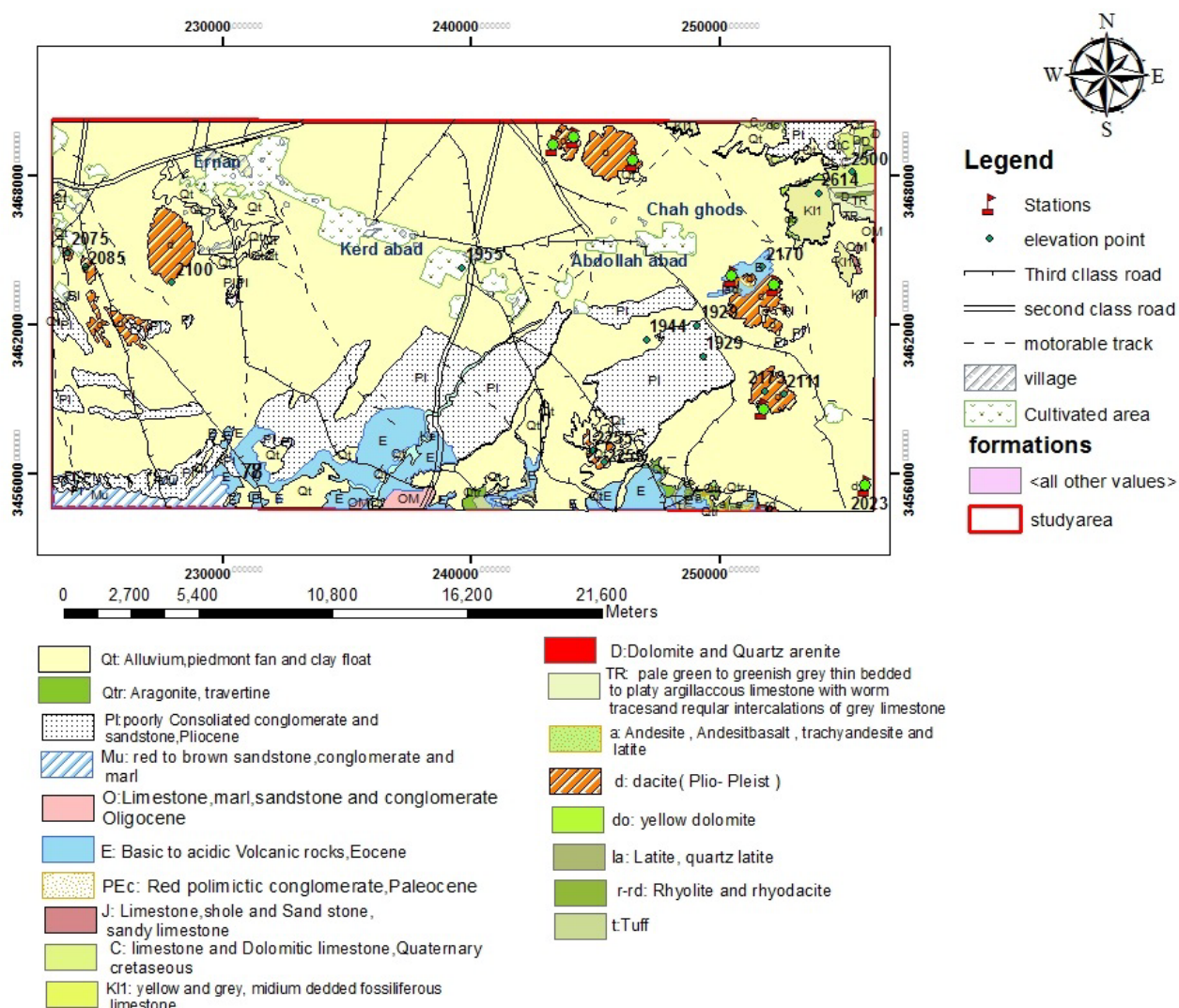
در این پژوهش، براساس تصاویر ماهواره‌ای، مسیرهای دستیابی به برونزدهای سنگی تعیین گردیده و بازدیدهای میدانی و نمونه‌برداری انجام شد. در مرحله بعد، ۸۰ مقطع نازک میکروسکوپی از گنبدهای آتشفسانی منطقه تهیه و از نظر سنگ‌نگاری به دقت بررسی شدند. پس از بررسی میکروسکوپی نمونه‌ها، ۱۰ نمونه با کمترین دگرسانی و با روش طیف‌سنجی جرمی پلاسمای جفت شده القایی^۱ (ICP-MS) در آزمایشگاه ACME کانادا تجزیه شدند. حد آشکارسازی برای عنصر اصلی ۰/۰۱ درصد و برای عناصر کمیاب ۰/۵-۵ ppm است. برای نتیجه‌گیری بهتر، از یافته‌های پیشین [۱۳] نیز استفاده شد. در مرحله آخر، داده‌های برآمده از بررسی‌های صحرایی، سنگ‌نگاری و زمین‌شیمی با هم ترکیب و تحلیل شدند.

بحث و بررسی

گنبدهای آتشفسانی جوان جنوب شرق نیر میان فروافتادگی کرانه‌ی جنوبی کوهستان شیرکوه و دشت گستردگی بهادران یزد، به فاصله تقریبی ۱۰۰ کیلومتری جنوب یزد واقع بوده و بخشی از چارگوش ۱:۱۰۰۰۰۰ از زمین‌شناسی نیر بین عرض‌های شمالی ۱۰° ۳۱° تا ۲۰° ۳۱° و طول‌های شرقی ۵۴° ۳۰' تا ۵۴° ۰' و

خمیری و یا حرکت‌های نامنظم درونی مذاب و ساخت نواری جریانی، از نمودهای ساختاری جالب در سنگ‌های منطقه هستند (شکل‌های ۲ ث و ج). ریخت و عمق جایگزینی توده ماقمایی و دگرشکلی لایه‌های دربرگیرنده توسط تفاوت گرانروی ماقمایی بالارو با سنگ‌های دربرگیرنده کنترل می‌شود [۱۶]. تفاوت ناچیز گرانروی منجر به شکل‌گیری نهان گنبدها یا گنبدهای خروجی و تفاوت بسیار آن موجب گدازه، مواد آذرآواری یا مخلوطی از هر دو (آتشفشان چینه‌ای) می‌شود که در منطقه مورد پژوهش، هر دو ساختار گنبدی و مخروط آتشفشانی دیده می‌شود.

پادگانه‌های آبرفتی و انباشت‌های آواری سخت‌نشده تشکیل داده که بخش اعظم منطقه را پوشانده‌اند. توده‌های اسیدی جوان (پلیو- پلیوستوسن) به شکل گنبد و یا مخروط آتشفشانی مرکب بروزد یافته‌اند (شکل ۲ الف). گنبدها بدون فعالیت‌های انفعالی هستند و تنها گاهی برش‌های ریزشی پیرامون آنها وجود دارد (شکل ۲ ب). مخروط‌های آتشفشانی از انواع مواد آذرآواری و جریان گدازه (شکل ۲ پ) تشکیل شده‌اند. شکل ۲ ت نهشته‌های ریزشی با ذرات جور نشده خاکستر و لاپیلی در پای تل شکارگاه را نشان می‌دهد. درزه‌های انحنای ناشی از کشش طی سرد شدن در محیط



شکل ۱ نقشه زمین‌شناسی ساده شده منطقه، برگرفته از مرجع [۱۵] با تغییرات.



شکل ۲ الف) رخمنون گنبدی شکل تل گدارbag، دید به سمت غرب؛ ب) برش ریزشی پای گنبد تل گدارbag؛ پ) مخروط آتشفشاری مرکب تل شکارگاه، دید به سمت جنوب غرب؛ ت) نهشتلهای ریزشی جور نشده خاکستر و لایلی؛ ث) درزهای انحنادار ناشی از کشش طی سرد شدن؛ ج) ساخت نواری جریانی در تل کفترل.

ساختار منطقه‌ای هستند و حدود ۶۵ درصد درشت بلورهای سنگ را تشکیل داده‌اند. در برخی نمونه‌ها، درشت‌بلورهای پلازیوکلاز بافت اسکلتی و غربالی، منطقه‌بندی و لبه غبارآلود دارند (شکل‌های ۳ پ و ت) که شرایط نامتعادل در فرایند تبلور ماقما را نشان می‌دهد. بافت غربالی پلازیوکلاز نشانگر عدم تعادل و تغییر شرایط فیزیکوشیمیایی ماقمای در حال تبلور است که در پی کاهش فشار ناشی از صعود و گاززادایی ماقما، ورود سیال به درون آشیانه ماقمایی، افزایش دمای ناشی از ورود یک ماقمای داغ جدید و آلایش ماقمایی [۱۷-۱۹] رخ می‌دهد. در پلازیوکلازهای مورد بررسی، این بافت به سبب کاهش فشار ماقمای در حال صعود و گاززادایی ماقما بوجود آمده است.

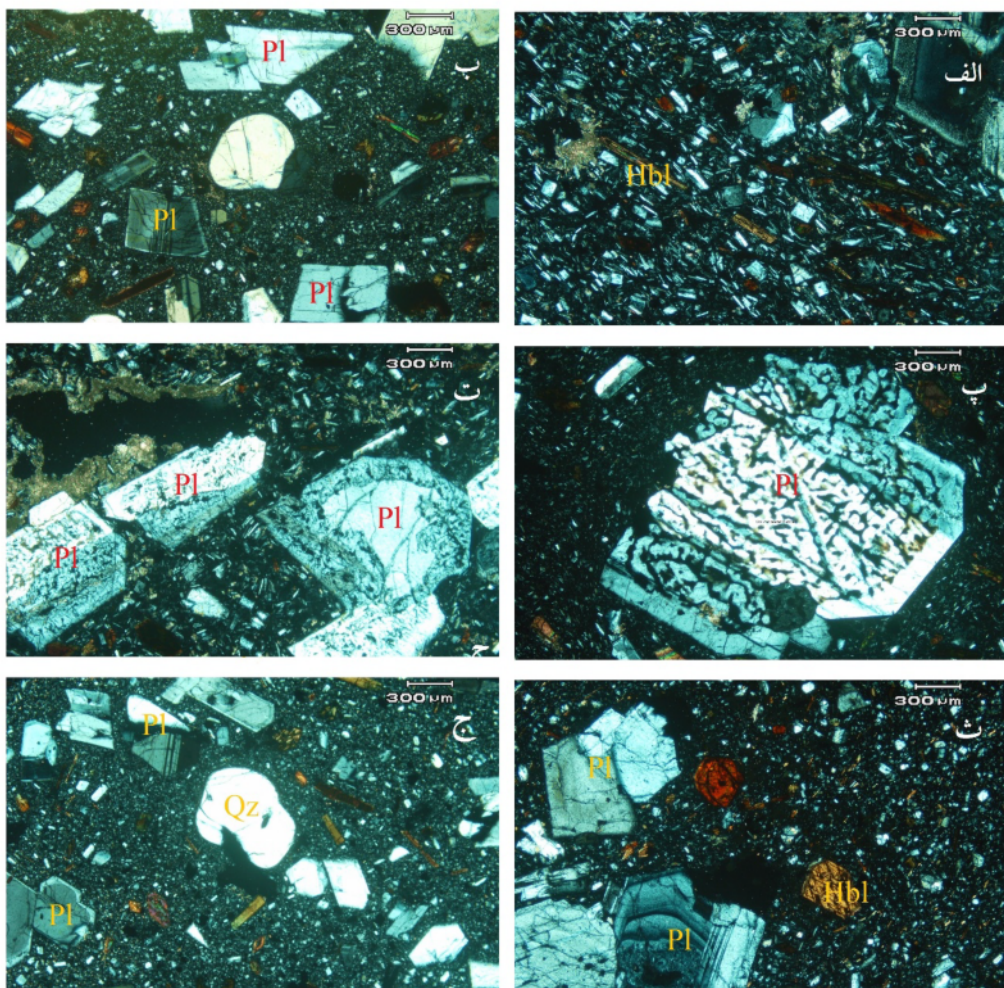
سنگنگاری

سنگ‌های آتشفشاری جنوب نیر رنگ خاکستری روشن و بافت پیبدابور دارند. بر اساس بررسی‌های سنگنگاری، ترکیب سنگ‌های مورد بررسی در گستره داسیت و ریوداسیت قرار دارد و کانی‌های آن شامل پلازیوکلاز، هورنبلند، کوارتز، بیوتیت، فلدسپار قلیایی و اکسیدهای آهن-تیتانیوم است که در زمینه-ای شامل شیشه و بلورهای ریز فلدسپات و کوارتز قرار دارند و بافت‌های شیشه‌ای پورفیری و شیشه‌ای ریز سنگی پورفیری و گاهی جریانی را به نمایش می‌گذارند (شکل‌های ۳ الف و ب). پلازیوکلاز و هورنبلند فراوان‌ترین درشت بلورهای سنگ را تشکیل داده‌اند. پلازیوکلازهای تخته‌ای خودشکل تا نیمه‌شکل-دار با طول تقریبی ۰.۵ تا ۳ میلیمتر، دارای ماکل تکراری و

بررسی‌های کانی‌شناسی تاریخچه تبلور سنگ را مشخص می‌نماید. خودشکل بودن بیشتر درشت‌بلورهای موجود در سنگ، بیانگر تشکیل آنها در آغاز تبلور ماقم است. وجود درشت‌بلورهای فراوان در سنگ توقف به نسبت طولانی ماقما در اتفاق‌های زیرسطحی را نشان می‌دهد. همراهی آمفیبیول و بیوتیت در سنگ نشانگر بالا بودن فشار مواد فرار در ماقمای مادر است. با صعود ماقما و افزایش فشار مواد فرار، بافت‌های غربالی، لبه‌های غبارآلود و خوردگی خلیجی در کانی‌های سنگ ایجاد شده و در مرحله آخر با بیرون‌ریزی سریع ماقما، لبه‌های کدر شده کانی‌های فرومینیزین و خمیره شیشه‌ای سنگ شکل گرفته است.

درشت‌بلورهای خودشکل تا نیمه‌شکل دار هورنبلند با فراوانی تا ۱۵ درصد اغلب دارای منطقه‌بندی و لبه سوخته هستند (شکل ۳ ث). کدر شدن لبه هورنبلند پیامد بالا بودن گریزندگی اکسیژن و تسريع فرایند اکسایش در سطح کانی به-واسطه افزایش تصاعدی مواد فرار طی بیرون‌ریزی ماقماست [۲۰].

بیوتیت‌های خودشکل تا نیمه شکل دار (با فراوانی تا ۱۰٪) فراوانی بسیار کمتری نسبت به آمفیبیول دارند. درشت‌بلورهای نیمه شکل دار کوارتز با فراوانی ۵ تا ۱۵ درصد خوردگی خلیجی و گاهی لبه گردشده دارند (شکل ۳ ج) که می‌تواند ناشی از انحلال یا ذوب کانی در نتیجه کاهش فشار و مواد فرار طی صعود ماقما به سطح زمین باشد [۲۱].



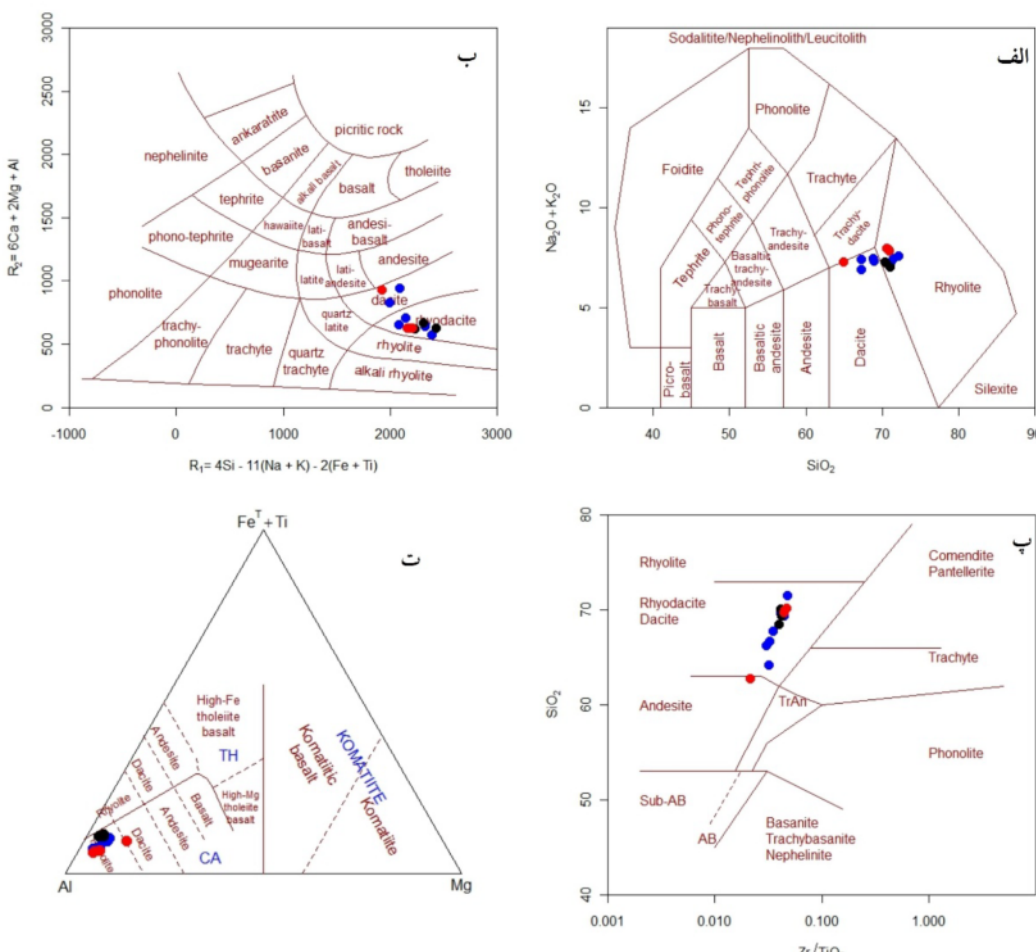
شکل ۳ تصویرهای میکروسکوپی از بافت‌ها و کانی‌های سنگ‌های آتشفشانی پلیوکواترنر جنوب شرق نیر: (الف) بافت جریانی شکل گرفته از موازی قرار گرفتن ریز سنگ‌ها و بلورهای پلازیوکلاز، (ب) بافت شیشه‌ای پورفیری با درشت‌بلورهای پلازیوکلاز و هورنبلند، (پ) بافت غربالی در بلور پلازیوکلاز، (ت) بلورهای پلازیوکلاز با لبه‌های غبارآلود، (ث) بلورهای هورنبلند شکل دار با لبه کدر شده و (ج) درشت‌بلور کوارتز با خوردگی خلیجی (نشانه‌های اختصاری کانی‌ها، Pl: پلازیوکلاز، Hbl: هورنبلند، Qz: کوارتز، از مرجع [۲۲] هستند).

کوارتز ساخته شده است، برای نامگذاری سنگ‌ها از رده‌بندی شیمیایی استفاده شد. بر پایه نمودارهای رده‌بندی $\text{Na}_2\text{O}+\text{K}_2\text{O}$ نسبت به SiO_2 [۲۳] و R1-R2 [۲۴]، نمونه‌ها در گستره ترکیبی داسیت و ریوداسیت قرار دارند (شکل‌های ۴الف و ب). ترکیب سنگ‌شناسی توده‌ها با نمودار تغییرات SiO_2 نسبت به Zr/TiO_2 [۲۵] و نمودار کاتیونی [۲۶] نیز تائید می‌شود (شکل‌های ۴پ و ت).

زمین شیمی
جدول ۱ نتایج تجزیه شیمیایی عناصر اصلی و کمیاب نمونه‌های جنوب شرق نیر را نشان می‌دهد. گستره تغییرات مقدار SiO_2 در سنگ‌ها ۷۱.۵۲ تا ۶۲.۸۰ درصد، O ۵۰.۵-۵۱.۵٪ Na_2O ۴.۳۹-۴.۷۸٪ K_2O ۱.۷۸-۲.۹۹٪ درصد وزنی است. بر این اساس، سنگ‌ها از نوع داسیت و ریوداسیت هستند. از آنجا که زمینه سنگ‌های مورد بررسی از شیشه و بلورهای ریز فلدسپات و

جدول ۱ داده‌های تجزیه شیمیایی اکسید عنصرهای اصلی (بر حسب wt%), کمیاب و خاکی نادر (بر حسب ppm) در سنگ‌های آتشفشاری جنوب نیر (نمونه‌هایی که با حرف K در شروع نام آنها برگرفته از مرجع [۱۳] هستند)

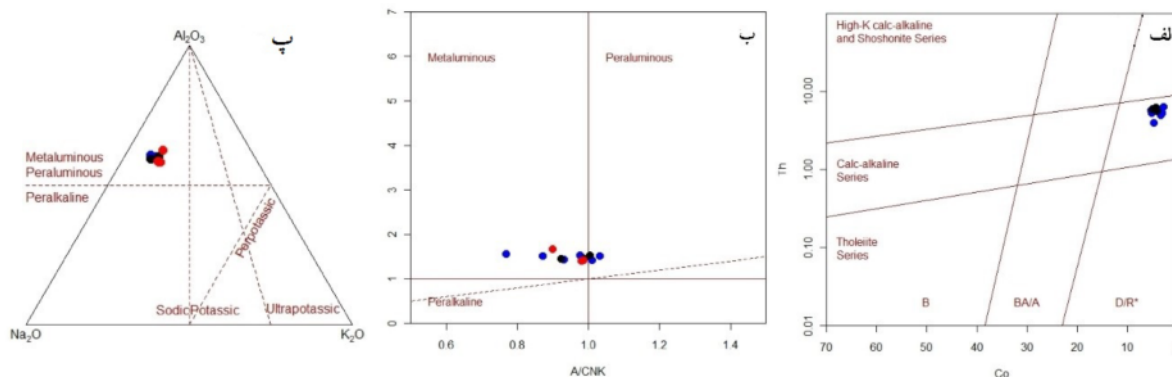
	T3-2	T1-1	TS5-1	TS7-2	TS6-3	TS3-1	T4-3	SE-4	ER-4	ER-7	KSE1	KSE2	KSE3	KSE6
SiO_2	۷۱.۵۲	۶۹.۳۶	۶۶.۷۱	۶۴.۲۲	۶۷.۷۵	۶۶.۲۴	۶۹.۶۱	۶۸.۵۳	۷۰.۰۸	۶۹.۳۶	۶۱.۶۳	۶۸.۸۰	۶۹.۲۷	۶۹.۰۳
TiO_2	۰.۲۳	۰.۲۸	۰.۴	۰.۳۳	۰.۳۷	۰.۴۱	۰.۲۴	۰.۳	۰.۳۴	۰.۳۲	۰.۴	۰.۲۸	۰.۳۵	۰.۲۳
Al_2O_3	۱۵.۲۳	۱۵.۲۹	۱۶.۰۵	۱۵.۳۵	۱۶.۱۹	۱۶.۳۷	۱۴.۹۷	۱۵.۲۱	۱۵.۲۴	۱۴.۹۷	۱۶.۵۶	۱۵.۵۳	۱۵.۶۳	۱۵.۶۶
Fe_2O_3	۰.۸۰	۰.۸۹	۱.۲۷	۱.۱۳	۱.۱۷	۱.۳	۰.۷۸	۱.۲۸	۱.۲۶	۱.۳۶	۲.۵۴	۱.۴۸	۱.۳۷	۱.۳۱
FeO	۰.۸۰	۰.۸۹	۱.۲۷	۱.۳	۱.۱۷	۱.۳	۰.۷۸	۱.۲۹	۱.۲۶	۱.۳۶	۳.۵۷	۲.۱۵	۱.۹۸	۱.۹۰
MnO	۰.۰۳	۰.۰۳	۰.۰۴	۰.۰۴	۰.۰۴	۰.۰۴	۰.۰۳	۰.۰۳	۰.۰۴	۰.۰۳	۰.۱۰	۰.۰۶	۰.۰۶	۰.۰۶
MgO	۰.۴۶	۰.۶۹	۰.۹۳	۰.۸۶	۰.۸۳	۰.۸۵	۰.۵۳	۰.۶۱	۰.۴۵	۰.۵۷	۱.۷۹	۰.۷۵	۰.۶۱	۰.۵۸
CaO	۲.۳۷	۲.۸۵	۲.۷۲	۵.۵۸	۳.۲۶	۴.۳۶	۳.۰۶	۲.۷۱	۲.۸۴	۳.۲۴	۴.۶۸	۲.۶۰	۲.۶۳	۲.۶۵
Na_2O	۴.۷۲	۴.۷۶	۴.۹۱	۴.۸۰	۵.۰۵	۵.۲۰	۴.۶۹	۵.۰۳	۴.۴۸	۴.۵۶	۴.۳۱	۴.۸۲	۴.۹۳	۴.۹۱
K_2O	۲.۷۸	۲.۳۶	۲.۳۲	۱.۷۸	۲.۱۷	۲.۱۰	۲.۵۷	۲.۰۱	۲.۴۴	۲.۶۱	۲.۶۰	۲.۹۵	۲.۸۱	۲.۷۷
L.O.I	۰.۷۰	۲.۲۰	۱.۹۰	۴.۴	۱.۵	۱.۳	۲.۴	۲.۷	۱.۱	۱.۱	۱.۷	۰.۴۷	۰.۳۷	۰.۸۲
محمد	۱۰۰.۸۳	۹۹.۷۷	۹۹.۲۹	۹۹.۵۹	۱۰۰.۴۶	۱۰۰.۹	۹۸.۹۲	۹۹.۹۴	۹۹.۸۰	۹۹.۷۶	۱۰۰.۰۰	۹۹.۹۹	۱۰۰.۱	۱۰۰.۰۲
P_2O_5	۰.۰۸	۰.۰۸	۰.۱۶	۰.۱۰	۰.۱۴	۰.۱۸	۰.۰۷	۰.۱۰	۰.۱۴	۰.۱۲	۰.۲۳	۰.۱۴	۰.۱۲	۰.۱۱
Ba	۷۳۲	۶۵۲	۶۸۴	۴۹۰	۶۸۷	۶۶۷	۶۶۴	۷۲.۰۵	۶۸۴۸	۷۱۱	۶۸۳	۴۷۷	۴۳۹	۴۳۵
Rb	۵۳۷	۴۶	۳۸۷	۳۱۲	۴۰.۲	۳۵۸	۴۲.۸	۴۲۴	۴۴۲	۴۷۴	۵۴	۶۶	۵۷	۵۵
Sr	۵۱۱۶	۵۴۰.۳	۸۰.۴۸	۸۹.۵۸	۷۸۷.۴	۸۷۲.۳	۵۴۲.۶	۷۵۰.۹	۵۶۵.۷	۵۷۵.۲	۸۲۳	۵۲۷	۵۴۲	۵۷۹
Zr	۱۱۰.۲	۱۲۳.۳	۱۳۰.۳	۱۰.۴۵	۱۲۸.۲	۱۲۳.۸	۹۹.۵	۱۱۹.۳	۱۳۹.۵	۱۳۳.۲	۱۱۷	۱۷۴	۱۵۸	۱۵۸
Nb	۲۳	۲.۸	۴	۲.۸	۳.۶	۲.۷	۲.۳	۴.۲	۳.۹	۴	۲	۱	۱	۱
Ni	۲۰	۲۰	۲۰	۲۰	۲۰	۲۰	۲۰	۷	۵۴	۶۴	۱	۱	۰	۸
La	۲۲.۷	۲۱.۴	۲۸.۷	۱۶.۶	۲۷.۳	۲۸.۷	۱۸.۷	۲۳.۱	۲۲.۸	۲۳.۵	۲۴	۲۲	۱۸	۱۲
Ce	۳۷.۷	۳۶.۸	۵۰.۵	۳۰.۱	۴۹.۶	۵۰	۳۵	۴۲	۴۱.۷	۴۳.۵	*	*	*	*
Pr	۳۸.۵	۳۷.۶	۵۰.۳	۳۲.۵	۵۱.۹	۵۴۴	۲۳.۵	۴.۶۷	۴.۵۷	۴.۶۲	*	*	*	*
Nd	۱۲.۳	۱۲	۱۸.۷	۱۲.۱	۱۸	۱۹.۸	۱۲.۱	۱۶.۸	۱۵.۱	۱۶.۲	*	*	*	*
Sm	۲۲.۴	۲۱.۳	۳۱.۵	۱.۹۷	۲.۹۴	۳.۰۹	۱.۹۸	۲.۸۰	۲.۶	۲.۷۰	*	*	*	*
Eu	۰.۶۱۰	۰.۶۲	۰.۸۲	۰.۶۲	۰.۸۲	۰.۹۴	۰.۵۸	۰.۷۴	۰.۷۳	۰.۷۱	*	*	*	*
Gd	۱.۵۷	۱.۵۴	۲.۲۶	۱.۶۷	۲.۰۷	۲.۲۸	۱.۴۳	۱.۷۵	۱.۷۵	۱.۹۳	*	*	*	*
Tb	۰.۲۰	۰.۱۹	۰.۲۶	۰.۲۲	۰.۲۵	۰.۲۵	۰.۱۸	۰.۴۲	۰.۲۵	۰.۳۱	*	*	*	*
Dy	۰.۹۵	۰.۹۵	۱.۱۳	۱.۱۶	۱.۱۵	۱.۲۷	۰.۸۳	۰.۱۶	۱.۲۵	۱.۴۳	*	*	*	*
Ho	۰.۱۴	۰.۱۴	۰.۱۸	۰.۲۰	۰.۱۸	۰.۲۱	۰.۱۲	۰.۱۷	۰.۲۲	۰.۳۱	*	*	*	*
Er	۰.۳۹	۰.۴۲	۰.۵۵	۰.۴۴	۰.۴۹	۰.۵۳	۰.۳۳	۰.۴۹	۰.۶۲	۰.۶۶	*	*	*	*
Tm	۰.۰۵	۰.۰۵	۰.۰۷	۰.۰۶	۰.۰۷	۰.۰۶	۰.۴۰	۰.۹۰	۰.۰۹	۰.۱۰	*	*	*	*
Yb	۰.۳۸	۰.۳۳	۰.۴۴	۰.۵۲	۰.۴۸	۰.۵۰	۰.۳۶	۰.۴۲	۰.۶۱	۰.۷۸	*	*	*	*
Lu	۰.۰۵	۰.۰۴	۰.۰۶	۰.۰۷	۰.۰۶	۰.۰۶	۰.۰۴	۰.۰۶	۰.۰۹	۰.۱۰	*	*	*	*
Y	۵	۴	۵.۷	۵.۶	۵.۳	۵.۷	۳.۹	۵.۹	۷.۸	۸	*	*	*	*
Cs	۱۳	۱	۰.۹	۰.۷	۱.۲	۰.۵	۱.۱	۱.۵	۱	۱	*	*	*	*
Ta	۰.۳	۰.۲	۰.۲	۰.۲	۰.۳	۰.۲	۰.۲	۰.۳	۰.۳۰	۰.۴	*	*	*	*
Hf	۳	۲.۱	۳.۴	۲.۶	۳.۴	۳.۴	۲.۷	۳.۶	۳.۸	۳.۷	*	*	*	*
Th	۶.۴	۵	۵.۷	۴	۶	۵.۳	۵.۳	۵.۶	۵.۹	۶.۲	*	*	*	*
U	۲.۴	۱.۸	۲.۲	۲	۲.۳	۱.۹	۲.۲	۲.۲	۱.۹	۲.۱	*	*	*	*
V	۲۶	۳۴	۴۷	۴۱	۴۲	۲۸	۲۷	۳۱	۳۱	۳۳	*	*	*	*
LoI	۰.۷	۲۲	۱.۹	۴.۴	۱.۵	۱.۳	۲.۴	۲.۷	۱.۱	۱.۱	*	*	*	*
Ga	۱۸.۶	۱۶.۸	۱۸	۱۵.۶	۱۸.۴	۱۸.۵	۱۶.۴	۲۰.۴	۲۰	۲۰.۲	*	*	*	*
Sc	۲	۳	۳	۳	۴	۲	۳	۳	۳	۳	*	*	*	*
$\text{La}_{\text{N}}/\text{Yb}_{\text{N}}$	۳۹.۸۲	۴۲.۲۲	۴۲.۴۸	۲۱.۲۸	۳۷.۹۲	۳۸.۲۷	۳۴.۶۳	۳۶.۶۷	۲۴.۹۲	۲۰.۰۹	*	*	*	*
YbN	۱.۷۳	۱.۵۰	۲.۰۰	۲.۳۶	۲.۱۸	۲.۲۷	۱.۶۴	۱.۹۱	۲.۷۷	۳.۵۵	*	*	*	*



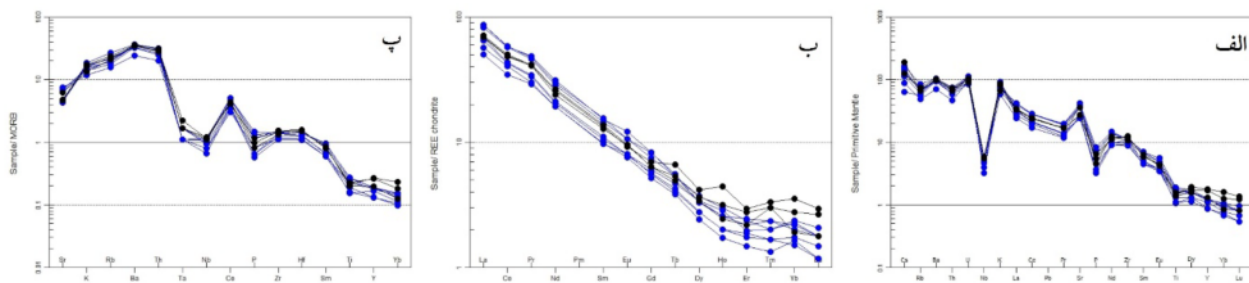
شکل ۴ (الف) نمودار $\text{Na}_2\text{O} + \text{K}_2\text{O}$ نسبت به SiO_2 [۲۳] برای تقسیم بندی زمین شیمیایی سنگ‌های آتشفشاری؛ (ب) نمودار R_1-R_2 [۲۴] که بر اساس آن، نمونه‌ها در گستره داسیت- ریوداسیت قرار دارند؛ (پ) موقعیت سنگ‌های منطقه در نمودار کاتیونی [۲۵]؛ (ت) ترکیب سنگ‌ها در نمودار Zr/TiO_2 نسبت به SiO_2 [۲۶].

جدایش زودرس فازهای بلورین تیتانومگنتیت و آمفیبول در سنگ [۱۱] و از ویژگی‌های شاخص ماغماهای شکل گرفته در پهنه فرورانش است [۳۲]. با توجه به شرکت عناصر HFSE در ساختار فازهایی مانند روتیل و ایلمینیت، تهی شدگی آنها را می‌توان به ماندگاری فازهای یاد شده در خاستگاه (به احتمال بسیار ورقه اقیانوسی فروروی رخساره اکلوژیت) نسبت داد [۳۳]. با افزایش فشار (در رخساره آمفیبولیت و اکلوژیت در پهنه‌های فرورانش)، حلایت فازهای کانیایی در سیال‌های آبدار کاهش یافته و کانی‌های حامل بصورت فاز دیرگداز در سنگ مادر آمفیبولیتی و اکلوژیتی ناشی از دگرگونی سنگ کره اقیانوسی فرورو باقی مانده و موجب ناهنجاری منفی در مذاب بخشی تولید شده می‌شوند [۳۴].

به منظور تعیین سری ماقمایی از نمودار Th/Co [۲۷] استفاده شد که بر این اساس، نمونه‌ها در گستره آهکی-قلیایی واقع هستند (شکل ۵ الف). از دیدگاه شاخص اشباع شدگی [۲۸]، سنگ‌های مورد پژوهش بیشتر در گستره متالومین تا کمی پرآلومین واقع هستند (شکل‌های ۵ ب و پ). نمودار بهنجار شده به گوشته اولیه [۲۹] سنگ‌های آتشفشاری جنوب نیر غنی‌شدگی واضح عناصر سنگ دوست بزرگ یون (Th, Ba, Sr, Rb; LILE) نسبت به عناصر خاکی نادر (HREE) و عناصر خاکی نادر بزرگ یون نسبت به عناصر با قدرت میدان بالا (HFSE) را نشان می‌دهد (شکل ۶ الف). وجود بی‌هنجری منفی HFSE‌ها به ویژه Ta, Ti, Nb و Bi نشان می‌دهد (شکل ۶ الف). عناصر با قدرت میدان بالا (HFSE) در بردارنده این عناصر چون Bi، Y, La، Ce، Nd، Sm، Gd، Tb، Dy، Ho، Er، Tm، Yb، Lu، Hf، Ta، Ti، Nb و Bi نشان می‌دهد (شکل ۶ الف). عناصر با قدرت میدان بالا (HFSE) در بردارنده این عناصر چون Bi، Y, La، Ce، Nd، Sm، Gd، Tb، Dy، Ho، Er، Tm، Yb، Lu، Hf، Ta، Ti، Nb و Bi نشان می‌دهد (شکل ۶ الف).



شکل ۵ الف) نمودار زمین شیمیایی Th/Co نسبت به Co [۲۷] برای تعیین سری ماقمایی؛ ب و پ) طبیعت متالومین تا پرآلومین سنگ‌ها در نمودار A/CNK نسبت به A/NK [۲۸] و نمودار مولی $\text{Na}_2\text{O}-\text{Al}_2\text{O}_3-\text{K}_2\text{O}$



شکل ۶ نمودارهای عنکبوتی سنگ‌های آتشفشاری منطقه که بهنجار شده نسبت به الف) گوشه اولیه [۳۵]، ب) کندریت [۲۹] و پ) موربر [۳۷]

های مورد بررسی نسبت به سنگ‌های آهکی قلیایی معمولی تفاوت‌های قابل توجهی از جمله بالا بودن مقادیر Sr , SiO_2 , La/Yb , Sr/Y , MgO و Y و تهی شدگی از HFSE و HREE همراه با شیب تند الگوی جدایش یافته عناصر خاکی نادر دارند (جدول ۲). بالا بودن مقدار Al_2O_3 بیش از (۱۵درصد)، پائین بودن مقدار MgO کمتر از Sr (۳wt%), نسبت $\text{Na}_2\text{O}/\text{K}_2\text{O}$ بین $1/7-1/2$ ، مقادیر بالای Y (بیش از ۴۰۰ppm) و مقادیر پایین Y (کمتر از ۱۸ppm) و Yb (کمتر از ۱.۹ppm) در این سنگ‌ها شباهت بسیاری به ویژگی‌های ماقماهای آدکیتی دارد [۴۱، ۱۱، ۴۲].

بر پایه نمودارهای Sr/Y نسبت به Y و La/Yb نسبت به Yb (بهنجار شده نسبت به کندریت) که برای جدایش سنگ‌های آدکیتی از ماقماهای برجسته پهنه‌های فرورانش (ناشی از ذوب گوشه) ارائه شده‌اند، نمونه‌های مورد پژوهش در گستره آدکیتی قرار دارند (شکل ۸). بالابودن مقدار Sr در آدکیتها در پی ناپایداری پلازیوکلаз در عمق بسیار و آزاد شدن Sr از ساختار آن ایجاد می‌شود [۴۱، ۴۳]. ماندگاری گارنت در خاستگاه نیز کاهش Y و افزایش نسبت Sr/Y را در پی دارد.

الگوی تغییرات عناصر نادر سنگ‌های منطقه مورد پژوهش بهنجار شده با کندریت [۳۵] (شکل ۶ ب)، روندی شیبدار با غنی‌شدگی عناصر نادر خاکی سبک (LREE) نسبت به HREE نشان می‌دهد که به پایداری گارنت در خاستگاه نسبت داده شده است [۳۶]. در نمودار بهنجار شده نسبت به مورب [۳۷]، عناصر Y و Yb کاهش ۱۰ برابری را نشان می‌دهند (شکل ۶ پ). با توجه به سازگاری این عناصر با شبکه گارنت، تهی‌شدگی این دو عنصر می‌تواند بیانگر حضور گارنت در خاستگاه باشد [۳۸].

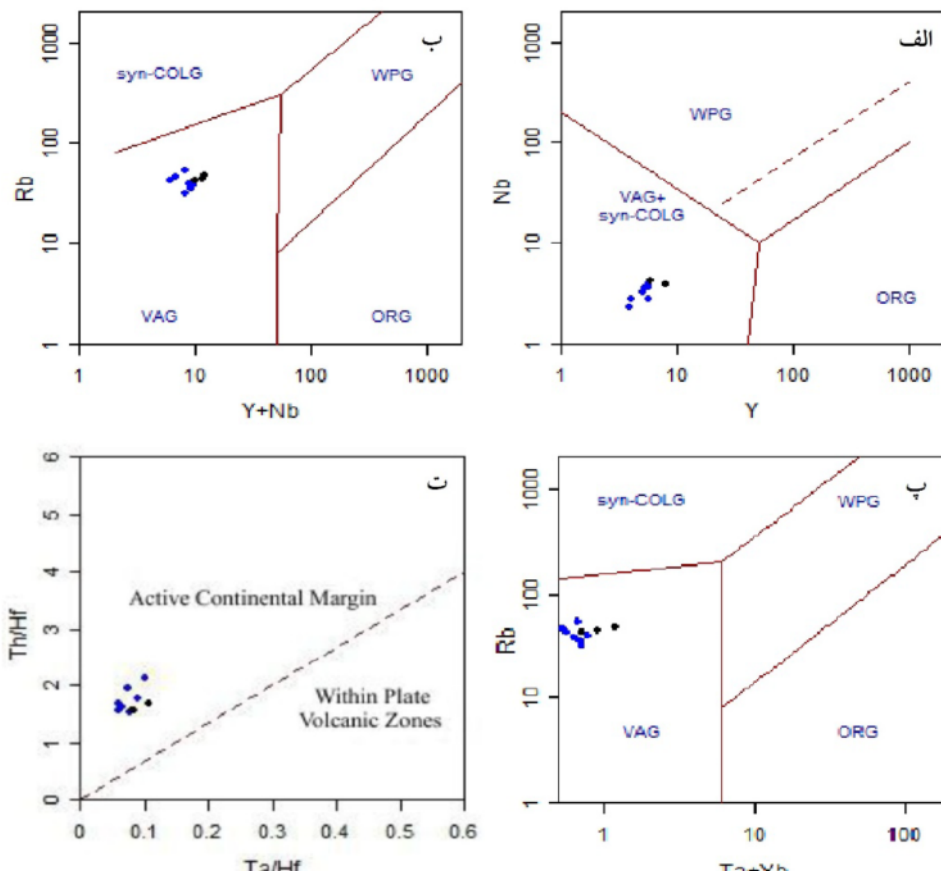
به منظور تحلیل جایگاه زمین ساختی سنگ‌های آتشفشاری جنوب نیر، از نمودارهای زمین ساختی ماقمایی مختلفی استفاده شده است. در نمودارهای طراحی شده به این منظور [۳۹]، سنگ‌های مورد پژوهش در جایگاه کمان ماقمایی قرار دارند (شکل ۷ الف تا پ). نمودار Ta/Hf نسبت به Th/Hf [۴۰] نیز جایگاه کمان ماقمایی را برای سنگ‌های مورد بررسی نشان می‌دهد (شکل ۷ ت).

بحث

با دقت در داده‌های زمین شیمیایی، می‌توان دریافت که سنگ

پوسته پائینی ضخیم شده، تبلور بخشی ماغماهای بازالتی و مذاب پریدوتیتی اولیه دگرنهاده توسط ذوب ورقه از مهمترین عوامل پیشنهادی در تشکیل آداکیت‌ها هستند [۴۵].

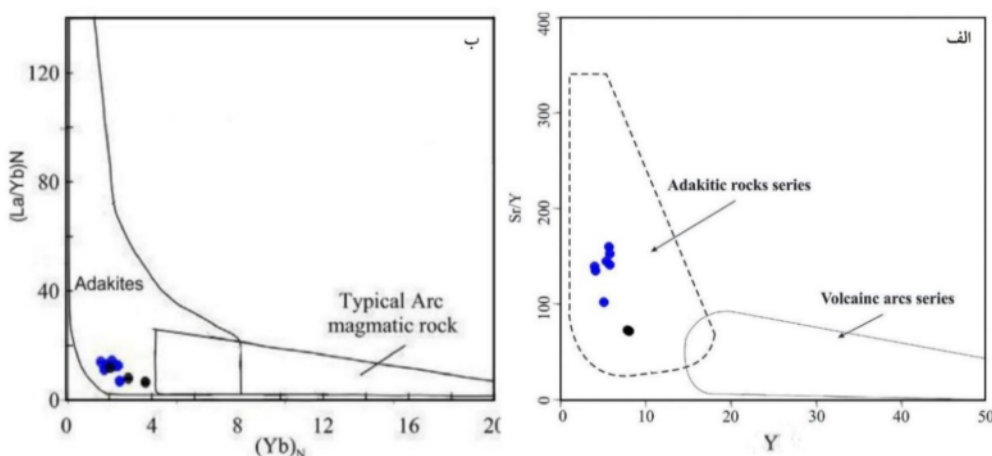
آداکیت‌ها به ۴ گروه کم‌سیلیس (LAS)، پرسیلیس (HAS)، قاره‌ای و آرکئن تقسیم شده [۴۶] و از منابع متعددی شکل می‌گیرند. ذوب بخشی ورقه اقیانوسی داغ و فرورو، ذوب بخشی



شکل ۲ (الف، ب و پ) موقعیت زمین ساختی سنگ‌های آتشفشانی منطقه در نمودارهای مرجع شده [۳۹؛ ت) موقعیت نمونه‌ها در نمودار Th/Hf به Ta/Hf [۴۰].

جدول ۲ مقایسه ویژگی‌های زمین شیمیایی سنگ‌های آتشفشانی منطقه مورد پژوهش با معیارهای شناختی آداکیت‌ها.

مقادیر میانگین محاسبه شده برای سنگ‌های آتشفشانی جنوب شرق نیز	ویژگی آداکیت‌ها
$\text{SiO}_2 \geq 56 \text{ wt\%}$	$\text{SiO}_2 = 62/8 - 71/52 \text{ wt\%}$
$\text{Al}_2\text{O}_3 \geq 15 \text{ wt\%}$	$\text{Al}_2\text{O}_3 = 14/97 - 16/88 \text{ wt\%}$
$\text{MgO} < 3 \text{ wt\%}$	$\text{MgO} = 0/45 - 1/79 \text{ wt\%}$
$\text{Sr} > 300 \text{ ppm}$	$\text{Sr} = 117 - 895/8 \text{ ppm}$
$\text{Y} < 15 \text{ ppm}$	$\text{Y} = 4 - 8 \text{ ppm}$
$\text{Sr/Y} > 20$	$\text{Sr/Y} = 71/91 - 159/96$
$\text{Yb} < 1/9 \text{ ppm}$	$\text{Yb} = 0/33 - 0/78$
$\text{La/Yb} > 20$	$\text{La/Yb} = 30/13 - 56/87$
بدون ناهنجاری منفی Eu	بدون ناهنجاری منفی Eu
مقدار بسیار کم HFSE و Nb به ویژه	مقدار کم HFSEها به ویژه Nb و Ta
غنى شدگی LREE نسبت به HREE	تمرکز بالای LREEها نسبت به HREE



شکل ۸ نمودارهای بر جسته جدایش سنگ‌های آدکیتی از ماقماهای نوعی کمان ماقمایی [۳۸].

Yb شده است. ویژگی‌های یاد شده به خوبی با خاستگاه بازالتی دگرگون شده در گستره پایداری گارنت، همخوانی دارد. به منظور تعیین نوع آدکیت در سنگ‌های آتشفسانی جنوب نیر، از نمودارهای جدایش آدکیت‌ها استفاده شد. برایه نمودارهای تغییرات MgO نسبت به SiO_2 و Sr نسبت به $Na_2O + K_2O$ [۴۲]، نمونه‌های مورد پژوهش در گستره آدکیت‌های پرسیلیس قرار دارند (شکل ۹).

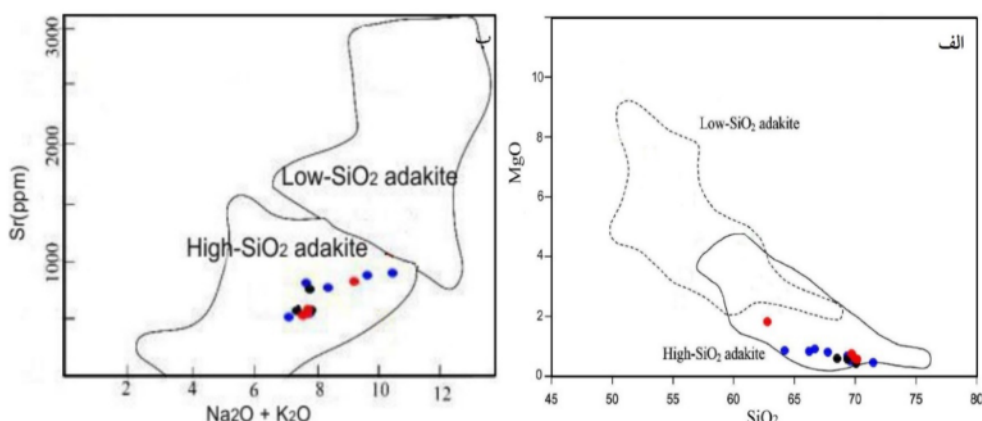
از آنجا که ذوب بخشی بازالت‌ها در فشارهای پایین، مذابی با نسبت‌های پایین $Yb/La/Yb$ و Sr/Y و تمرکز بالای Y و Yb به وجود می‌آورد [۴۷]، ماقماهای آدکیتی باید از ذوب بخشی بازالت در رخساره اکلوژیت-آمفیبولیت تولید شده باشند [۴۱، ۴۸]. ترکیبات بازالتی دگرگونه در بخش زبرین پوسته ضخیم شده و پوسته اقیانوسی فرورو دیده می‌شود [۴۹]. گزینه اصلی مستعد ذوب در مناطق فرورانشی قطعه فرورو اقیانوسی است افزون بر این، مهمترین ویژگی زمین شیمیایی آدکیت‌های برآمده از ذوب ورقه اقیانوسی مقادیر Sr/Y بیش از ۴۰ و $(La/Yb)_N$ (B) بیش از ۱۲ است. نمودارهای مرجع [۵۰] به خوبی این امر را به نشان می‌دهند (شکل‌های ۱۰ الف و ب). چنانچه ذوب در فشارهای بسیار بالا رخ دهد، تفاله باقیمانده دارای ترکیب اکلوژیتی (شامل گارنت، کلینوپیروکسن و روتیل) است و وجود روتیل منجر به نسبت‌های بالاتری از Nb/Ta می‌شود [۵۱، ۵۲]، در حالی که ذوب در فشارهای کمتر، تفاله گارنت آمفیبولیتی بر جا می‌گذارد. با توجه به پایین بودن نسبت Nb/Ta در آدکیت‌های جنوب نیر (۰.۲ - ۰.۴)، ترکیب تفاله بر جامانده بیشتر با ترکیب گارنت آمفیبولیتی همخوانی دارد.

آدکیت‌های پرسیلیس و کم‌سیلیس دارای ویژگی‌های زمین‌شیمیایی بی مانندی هستند. جدای از تفاوت در مقدار سیلیس، تفاوت‌هایی در نسبت‌های La/Yb و Sr/Y و الگوی عناصر خاکی نادر بهنجار شده نسبت به کندریت در انواع LSA و HSA دیده می‌شود. بالا بودن مقادیر SiO_2 (بیش از ۵۶wt% Sr)، (بیش از 400ppm Yb) و نسبت La_N/Yb_N (بیش از ۱۰) به همراه پایین بودن Y (کمتر از 18ppm) و Yb (کمتر از 1.9ppm) وجود الگوی مقرر HREE‌ها، مهمترین ویژگی‌های آدکیت‌های پرسیلیس هستند.

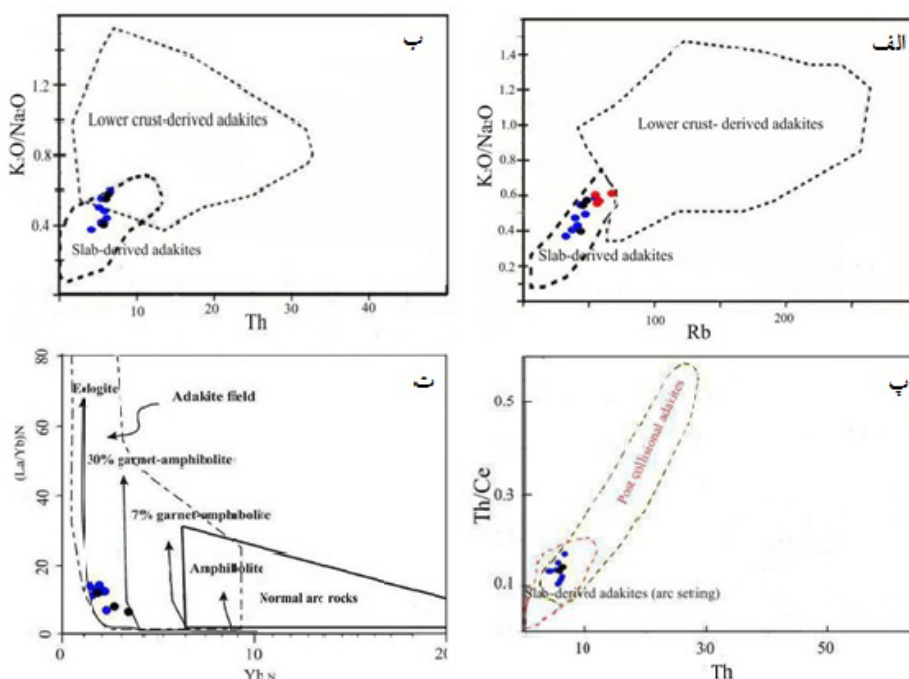
آدکیت‌های قاره‌ای دارای مقادیر کم Y و Yb ، نسبت پایین Sr/Y (۱۵-۱۵۰) و نسبت‌های بالای K_2O/Na_2O (نزدیک به ۱) هستند. بالا بودن K_2O در آدکیت‌های قاره‌ای به دگرسانی، آلاش پوسته‌ای و تبلور نسبت داده شده است [۴۶]. آدکیت‌های آرکئن تنها در نوارهای سنگ سبز یافت می‌شوند.

شواهد زمین شیمیایی بیانگر شباهت غیرقابل انکار سنگ‌های مورد بررسی به آدکیت‌های پرسیلیس است. نمونه‌های REE مورد پژوهش دارای سیلیس بیش از ۵۶ درصد و الگوی K_2O/Na_2O در آنها (۰.۳۹ - ۰.۴۱) اختلاف بسیاری با آدکیت‌های قاره‌ای دارد. بالا بودن مقدار Sr و تهی شدگی عناصر Ta, P, Ti و Nb با ماندگاری فازهای دیرگداز در بردارنده این عناصر (روتیل، ایلمنیت، آمفیبول، اسفن و آپاتیت) در خاستگاه قابل تفسیر است. وجود گارنت (و به احتمال بسیار آمفیبول) در خاستگاه و مشارکت نداشتن در مذاب تولید شده، سبب جدایش شدید عناصر خاکی نادر سبک و سنگین و تهی شدگی ماقما از HREE بهویژه

سنگ‌های آتشفشانی جنوب نیر پوسته اقیانوسی فرورو نئوتیس است که در رخساره گارنت آمفیبولیت (تا اکلوژیت) دگرگون شده است. تنש‌های برشی و فشارشی ناشی از برخورد مایل ورقه ایران مرکزی در نیوزن [۵۶] در ادامه فرورانش سبب ذوب بخشی پوسته اقیانوسی فرورو و فعالیت ماقمایی آداکیتی پس از برخورد در جنوب نیر شده است. این ساز و کار توسط برخی پژوهشگران برای فعالیت ماقمایی آداکیتی جوان در سایر بخش‌های پهنه ارومیه- دختر پیشنهاد شده است [۵۷-۶۰].



شکل ۹ نمودارهای جدا کننده سنگ‌های آداکیتی پرسیلیس از کم سیلیس [۳۹].



شکل ۱۰ (الف) نمودار Rb/Th vs $\text{K}_2\text{O}/\text{Na}_2\text{O}$ که نشان‌دهنده آداکیت آداکیت [۴۷] است؛ (ب) نمودار Rb/Th vs La/Yb که نشان‌دهنده آداکیت های برآمده از صفحه فرورو است؛ (پ) خاستگاه نمونه‌ها در نمودار Th/Ce نسبت به Yb [۴۷]؛ (ت) نمودار Th/Ce نسبت به Yb [۵۱] که براساس آن، سنگ‌های آتشفشانی جنوب نیر از ذوب بخشی خاستگاه گارنت آمفیبولیت تا گارنت اکلوژیتی به وجود آمده‌اند.

نمودارهای طراحی شده برای تعیین خاستگاه آداکیت‌ها [۵۴-۵۳] گستره آداکیت‌های وابسته به کمان ماقمایی با خاستگاه صفحه فرورو نده گارنت آمفیبولیتی تا گارنت اکلوژیتی با ۱۰ تا ۲۵ درصد گارنت را نشان می‌دهند (شکل‌های ۱۰ پ و ت). ذوب بخشی ورقه اقیانوسی فرورو نده با ترکیب گارنت آمفیبولیتی در فشار معادل با گستره پایداری گارنت، با نتایج به دست آمده از مدل‌های ذوب بخشی پوسته بازالتی فرورو و مدل‌های دوبعدی دمایی مناطق فرورانش همخوانی دارد [۵۵]. بر اساس به داده‌های زمین شیمیایی، خاستگاه اصلی

- [6] Mirnejad H., Raeisiand D., Heidari F., *Geochemistry and petrogenesis of tonalite from Iju area, northwest of Shahr-e Babak (Kerman province), with emphasis on adakitic magmatism (in Persian)*, Petrology 24 (2015) 197-210.
- [7] Ghadami G.H.R., Poosti M., Babai F., *Petrogenesis of Mio-Pliocene dacite-andesite volcanism in SE of Urumieh-Dokhtar magmatic belt (NE Shahr-e-Babak) (in Persian)*, Geosciences 25(97) (2015) 37-48.
- [8] Chekani Moghadam M., Tahmasbi Z., Ahmadi-Khalaji A., *Mineralogy, geochemistry and origin of Baft northeast volcanic rocks (south Kerman): Evidence for volcanic arc magmatism in Uromieh-Dokhtar magmatic belt (in Persian)*, Iranian Journal of Crystallography and Mineralogy 24 (4) (2017) 743-760.
- [9] Mahmoudi Sh., Khajeie A., *Petrogenesis and tectonic setting of adakitic volcanic rocks in Hassan-Abad Darreh-Zereshk (in Persian)*, Quaternary of Iran 5(1) (2019) 125-142.
- [10] Defant M. J., Kepezhinskas P., *Evidence suggests slab melting in arc magmas*, EOS, Transactions, American Geophysical Union 82(6) (2001) 62-70.
- [11] Martin H., *Adakitic magmas: modern analogues of Archaean granitoids*, Lithos 46(3) (1999) 411-429.
- [12] Sherafat Sh., *Petrology and geochemistry of Plio-Quaternary volcanic rocks in west and southwest of Yazd Province (in Persian)*, Ph.D. Thesis, Isfahan University, Isfahan, Iran (2009).
- [13] Kuhsari A.H., Mackizadeh M.A., *Petrography and geochemistry of Igneous rocks and their alteration in Dehshir fault zone (in Persian)*, Yazd university (1996).
- [14] Aghanabati A., *Geology of Iran (in Persian)*, Geological survey of Iran (2004).
- [15] Sahandi M., *Geological map of Nir, Sheet No. 6852*, Geological survey of Iran (2008).
- [16] Ramberg H., "Model Studies of Gravity controlled Tectonics by the Centrifuge Technic" In: De Jong K. A., Scholten R. (eds), Gravity and Tectonics, John Wiley, New York, (1973) 49-66.

برداشت

سنگ‌های آتشفسانی جوان جنوب شرق نیر واقع در جنوب استان یزد بصورت مخروط آتشفسانی و گنبد رخمنون داشته و از دیدگاه تقسیم‌بندی پهنه‌های ساختاری، در پهنه ماغمایی ارومیه-دختر قرار دارد. سنگ‌های مورد بررسی بیشتر ترکیب داسیتی تا ریوداسیتی و سرشت آهکی-قلیابی دارند. نمودارهای زمین‌ساختی ماغمایی و شواهد زمین‌شیمیایی چون غنی‌شدگی از LREE و HREE و تهی‌شدگی از LILE و HFSE، نشانگر فعالیت ماغمایی در کرانه قاره دلالت هستند. مقادیر بالای Sr/Y و La/Yb و تهی‌شدگی این سنگ‌ها از عناصرهای با شدت میدان بالا Y, HFS و Yb به ویژگی‌های مذاب‌های آدакیتی پرسیلیس شباهت دارد و بیانگر پیدایش آنها در فشار بالا با ماندگاری عنصرهای یاد شده در فازهای برجامانده دیرگذار (چون روتیل و گارنت) است. همه این شواهد نشانگر پیدایش ماغمای سازنده سنگ‌های آداقیتی از ذوب بخشی خاستگاه گارنت آمفیبولیتی یا اکلوژیتی برآمده از دگرگونی سنگ‌کره اقیانوسی فرورو نئوتیتیس در زمان نئوژن است. این فرایند برای فعالیت ماغمایی آداقیتی در سایر نقاط ایران نیز در نظر گرفته شده است.

مراجع

- [1] Mohajjal M., Fergusson C. L., Sahandi M.R., *Cretaceous-Tertiary convergence and continental collision, Sanandaj-Sirjan Zone, western Iran*, Journal of Asian Earth Sciences 21(2003) 397-412.
- [2] Alavi M., *Regional stratigraphy of the Zagros fold-thrust belt of Iran and its proforeland evolution*, American journal of Science 304 (2004) 1-20.
- [3] Agard P., Omrani J., Jolivet L., Whitechurch H., Vrielynck B., Spakman W., Monie P., Meyer B., Wortel R., *Zagros orogeny: a subduction-dominated process*, Geological Magazines 148(5-6) (2011) 692-725.
- [4] Ghasemi A., Talbot C.J., *A new tectonic scenario for the Sanandaj-Sirjan Zone (Iran)*, Journal of Asian Earth Sciences 26 (2006) 683-69.
- [5] Arzhangnezhad F., Moradian A., Keshtkar Z., *The study of petrography, geochemistry and petrogenesis of subvolcanic masses of Madvar and Shah khairollah in north and southeast of Shahr-eBabak city (Kerman province) (in Persian)*, Petrology 24(2015) 151-170.

- A.D. and Norry, M.J.). Geological Society of London Special Publication (1989) London,
- [30] Tatsumi, Y., Hamilton, D.L., Nestutt, R.W., "Chemical characteristics of fluid phase released from a subducted lithosphere and origin of arc lavas: evidence from high-pressure experiments and natural rocks", Journal of Volcanology and Geothermal Research 29 (1986) 293-309.
- [31] Keppler, H., "Constraints from partitioning experiments on the composition of subduction-zone fluids", Nature 380 (1996) 237-240.
- [32] Wilson, M., "Igneous Petrogenesis: A Global Tectonic Approach". Chapman and Hall, London (1989) 446 pp.
- [33] Ryerson, F.J., Watson, E.B., "Rutile saturation in magmas: implications for Ti -Nb-Ta depletion in island-arc basalts", Earth and Planetary Science Letters, 86(2-4) (1987) 225-239.
- [34] Gaetani, G. A., "The influence of melt structure on trace element partitioning near the peridotite solidus", Contributions to Mineralogy and Petrology 147(5) (2004) 511-527.
- [35] Nakamura, N., "Determination of REE, Ba, Fe, Mg, Na and K in carbonaceous and ordinary chondrites", Geochimica et Cosmochimica Acta 38 (1974) 757-775.
- [36] MacDonald, R., Hawkesworth, C.J., Heath, E., "The lesser Antilles volcanic chain: a study of arc magmatism", Earth Science Reviews 49(4) (2000) 17- 26.
- [37] Pearce, J.A., "Role of the sub-continental lithosphere in magma genesis at active continental margins", In: Continental Basalts and Mantle Xenoliths (Eds. C.J. Hawkesworth and Norry, M.J.) Shiva, Nantwich (1983) 230-249.
- [38] Kampunzu, A.B., Tombale, A.R., Zhai, M., Bagai, Z., Majaula, T., Modisi, M.P., "Major and trace element geochemistry of plutonic rocks from Francistown, NE Botswana: evidence for a Neoarchaean continental active margin in the Zimbabwe craton". Lithos 71(2003) 431-460.
- [39] Pearce, J. A., Harris, N.B.W., Tindle, A.G., "Trace element discrimination diagrams for the tectonic interpretation of granitic rocks", Journal of Petrology 25(4) (1984) 956-983.
- [40] Schandl, E.S., Gorton, M.P., "Application of high field strength elements to discriminate tectonic settings in VMS environments", Economic Geology 97 (2002) 629-642.
- [41] Defant, M.J., Drummond, M.S., "Derivation of some modern arc magmas by melting of young subducted lithosphere", Nature 374 (1990) 662-665.
- [17] Tsuchiyama A., "Dissolution kinetics of plagioclase in the melt of the system diopside – albite-anorthite and origin of dusty plagioclase in andesite", Contributions to Mineralogy and Petrology 89 (1985) 1-16.
- [18] Stewart M.L., Pearce T.H., "Sieve-textured plagioclase in dacitic magma: Interference imaging results", American Mineralogist, 89(2-3) (2004) 348-351.
- [19] Humphreys M.C.S., Blundy J.D., Stephen R., Sparks J., "Magma Evolution and Open-System Processes at Shiveluch Volcano: Insights from Phenocryst Zoning", Journal of Petrology 47(12)(2006) 2303-2334.
- [20] Rutherford M.J., Hill P.M., "Magma ascent rates from amphibole breakdown: An experimental study applied to the 1980–1986 Mount St. Helens eruptions", Journal of Geophysical Research 98 (B11) (1993) 19667-19685.
- [21] Shelly D., "Igneous and metamorphic rocks under the microscope", Chapman and Hall (1993) 445 pp.
- [22] Whitney D.L., Evans B.W., "Abbreviations for names of rocks-forming minerals", American mineralogist 95 (2010) 185-187.
- [23] Middlemost Middlemost, E.A.K., "Naming materials in the magma/igneous rock system". Earth Sciences Reviews 37(3-4) (1994) 215-224.
- [24] De La Roche H., Leterrier J., Grandclaude P., Marchal M., "A classification of volcanic and plutonic rocks using RIR2 -diagram and major element analyses- Its relationships with current nomenclature", Chemical Geology 29 (1980) 183-210.
- [25] Jensen L.S., "A New Cation Plot for Classifying Subalkalic Volcanic Rocks", Ontario Geological Survey Miscellaneous Paper 66 (1976).
- [26] Winchester J.A., Floyd P.A., "Geochemical discrimination of different magma series and their differentiation products using immobile elements", Chemical Geology 20(4) (1977) 325-343.
- [27] Hastie A.R., Kerr A.C., Pearce J.A., Mitchell S.F., "Classification of altered volcanic island arc rocks using immobile trace elements: development of the Th- Co discrimination diagram", Journal of Petrology 48 (2007) 2341-2357.
- [28] Shand S.J., "Eruptive Rocks. Their Genesis, Composition, Classification, and Their Relation to Ore-Deposits with a Chapter on Meteorite", Thomas Murby, London (1943) 488 pp.
- [29] Sun S.S., McDonough W.F., "Chemical and isotopic systematic of oceanic basalts: implications for mantle composition and processes". In: Magmatism in the Ocean Basins (Eds. Saunders,

- Earth and Planetary Science Letters 226 (2004) 415-432.
- [53] Wang, Q., Xu, J. F., Jian, P., Bao, Z. W., Zhao, Z. H., Li, C. F., Xiong, X. L., Ma, J. L., "Petrogenesis of adakitic porphyries in an extensional tectonic setting, Dexing, South China: Implications for the genesis of porphyry copper mineralization", Journal of Petrology 47 (2006) 119-144.
- [54] Defant, M.J., Drummond, M.S., "Mount St. Helens: potential example of the partial melting of the subducted lithosphere in a volcanic arc", Geology 21(1993) 547-550.
- [55] Peacock, S. M., Rushmer, T., Thompson, A. B., "Partial melting of subducting oceanic crust", Earth and Planetary Science Letters 121 (1994) 227—244.
- [56] McCluske, S., Balassanain, S., Baraka, A., Dmir, C., Ergintav, I., Gurkan, O., Hamburger, M., Hurst, K., Kahle, H., Kastens, K., Kekelidze, G., King, R., Kotzev, V., Lenk, O., Mahmoud, S., Nadariya, M., Ouzounis, A., Toksoz, M. N., Veis, G., "Global positioning system constrains on plate kinematics and dynamics in the eastern Mediterranean and Caucasus", Journal of Geophysical Research 105 (2003) 5695-5719.
- [57] Yadollahi, R., Kananin, A., Maanijou, M., Sarjoughian, F. and Hassanpour, Sh. "Genesis of Adakitic Magmatism in Masjed Daghi Region in Julfa, Eastern Azarbaijan (in Persian)". Iranian Journal of Crystallography and Mineralogy 19 (2) (2011) 297-310.
- [58] Mahoudiniya, H., Jahangiri, A., "Petrographic and petrogenetic studies of adakitic magmatism of Gavdel (Shivar Dagh) in Garehdagh-South Arminian Zone (Northwest of Iran) (Irankuh Pb-Zn deposit, Southwest of Isfahan) (in Persian)", Petrology 29 (2017) 21-36.
- [59] Noghreyan, M., Khodami, M., Davoudian Dehkordi, A., Shabanian Brogeni, N., "Petrogenesis of Pliocene-Quaternary Volcanic Rocks in Isfahan Province: Insight on Adakite Magmatism (in Persian)". Iranian Journal of Crystallography and Mineralogy 19 (3) (2011) 451-462.
- [60] Fardfeshani, Z., Ghorbani, M.R., Arvine, M., "Origin and Evolution of Eocene Felsic and Neogene Adakitic Volcanism in Kajan (west Nain)(in Persian)". Iranian Journal of Crystallography and Mineralogy 22 (1) (2014) 115-124.
- [42] Martin, H., Smithies, R. H., Rapp, R., Moyen, J. F., Champion, D., "An overview of adakite, tonalite-trondhjemite-granodiorite (TTG), and sanukitoid: relationships and some implications for crustal evolution", Lithos 79 (2005) 1–24.
- [43] Rosu, E., Seghedi, I., Downes, H., Alderton, D. H. M., Szakacs, A., Panaiotu, C. E., Nedelcu, L., "Extension-related Miocene calc-alkaline magmatism in the Apuseni Mountains, Romania: Origin of magmas. Schweizerische Mineralogische und Petrographische Mitteilungen", 84 (2004) 153-172.
- [44] Moyen, J. F., "High Sr/Y and La/Yb ratios: the meaning of the "adakitic signature" ", Lithos 54 (2009) 365-372.
- [45] Tsuchiya, N., Kimura , J.I., Kagami, H., "Petrogenesis of Early Cretaceous adakitic granites from the Kitakami Mountains, Japan", Journal of Volcanology and Geothermal Research 167(1) (2007) 134-159.
- [46] Zhao, J. H., Zhou, M. F., "Geochemistry of Neoproterozoic mafic intrusion in the Panzhihua district (Sichuan Province, SW China): Implications for subduction-related metasomatism in the upper mantle", Precambrian Research 152(2007) 27-47.
- [47] Rapp, R.P., Watson, E.B., Miller, C.F., "Partial melting of amphibolite/eclogite and the origin of Archean trondhjemites and tonalities", Precambrian Research 51(1991) 1–25.
- [48] Castillo, R. P., "An overview of adakite petrogenesis", Chinese Science Bulletin 51(2006) 257-268.
- [49] Sen, C., Dunn, T., "Dehydration melting of a basaltic composition amphibolite at 1.5 and 2.0 Gpa: implications for the origin of adakites", Contributions to Mineralogy and Petrology 117 (1994) 394-409.
- [50] Delavari, M., Amini, S., Schmitt, A.K., McKeegan, K.D., Mark Harrison, T., "U-Pb geochronology and geochemistry of Bibi-Maryam pluton, eastern Iran: Implication for the late stage of the tectonic evolution of the Sistan Ocean". Lithos 200–201 (2014) 197-211.
- [51] Foley, S.F., Barth, M.G., Jenner, G.A., "Rutile/melt partition coefficients for trace elements and an assessment of subduction zone magmas", Geochimica et Cosmochimica Acta 64 (2000) 933-938.
- [52] Schmidt, M. W., Dardon, A., Chazot, G., Vannucci, R., "The dependence of Nb and Ta rutile melt partitioning on melt composition and Nb/Ta fractionation during subduction processes".